

§ Залікова Робота §

Задача 1: Перколяції.

Умова. Процес перколяції: де виникає, як його можна моделювати, залежність від яких параметрів можна досліджувати.

Відповідь. Перед тим, як сформулювати поняття перколяції, давайте трошки опишемо об'єкт, з котрим ми будемо працювати. Зафіксуємо деяку дошку розміру $n \times n$, в кожную клітинку ми будемо ставити одне з двох значень:

- 1 – якщо на цій клітинці знаходиться перешкода.
- 0 – якщо ця клітинка вільна.

Далі виникає питання, а за яким правилом ми будемо генерувати такий “лабіринт”? Розглянемо дуже простий варіант. Нехай $X_{i,j}$ – значення в клітинці (i, j) . Тоді нехай $X_{i,j} \sim \text{Bernoulli}(\theta)$, тобто з ймовірністю $0 \leq \theta \leq 1$ будемо мати перешкоду в цій клітинці, а з ймовірністю $1 - \theta$ будемо мати вільну клітинку. Отже, з формою лабіринту ми визначилися.

А тепер поставимо таке питання: нехай ми поставили персонажа у якусь з клітинок найвищого рядка $X_{i,1}$, $i = 1, \dots, n$. Яка ймовірність, що персонаж зможе пройти лабіринт, якщо вихід знаходиться під найнижчим рядком $X_{i,n}$, $i = 1, \dots, n$.

Зазначимо, що це дещо іграшкова аналогія і такий процес можна використовувати у дійсно прикладних задачах. Наприклад, якщо вважати за 1 – клітинки з діелектриком, а за 0 – провідник, то наявність шляху зверху вниз може означати, що струм зможе пройти по цій ділянці. Або, замість персонажа можна пускати воду, тоді питання буде полягати в тому, чи пройде вода через задану ділянку.

Далі використаємо аналогію з провідником і на ній проілюструємо, чому така проблема є важливою. Нехай в нас є електричне коло, що зображено на Рисунку 1.

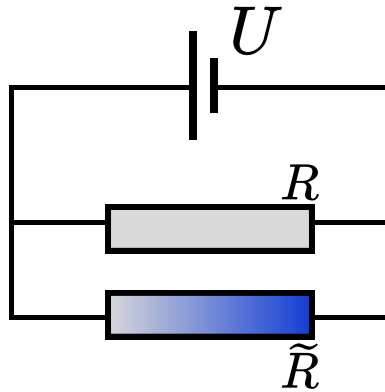


Рис. 1: Ілюстрація явища перколяції

Нехай R – супротив звичайного резистора, а $\tilde{R}(\theta)$ – того, який моделюється за допомогою алгоритму з клітинками вище (назвемо його нелінійним). Дуже спрощено, нехай ми почали експеримент, тоді фікується $\tilde{R} = 0$, якщо знайшовся шлях по нелінійному елементу, а інакше фіксуємо $\tilde{R} = R_0$.

Тепер під'єднаємо амперметр до кола послідовно і будемо міряти його показання. Якщо ми будемо плавно змінювати R , то і значення амперметра буде плавно змінюватись¹. Тобто, графік $I(R)$ буде певною неперервною величиною – це ми добре знаємо зі шкільної фізики. А тепер цікаве наступне питання: а яка буде залежність середнього значення току від θ ²?

Зрозуміло, що для θ , близьких до 1, скоріше за все супротив нелінійного елемента стане R_0 і ток буде дорівнювати $U(R + R_0)/RR_0$. Якщо ж, навпаки, θ близьке до 0, то ток буде протікати по всьому колу без супротиву і амперметр скоріше за все ламається, оскільки $I \rightarrow \infty$:)

А ось цікаво – на якому саме етапі відбувається цей перехід між скінченним значенням і “вибухом”? Цей фазовий перехід, в якому відбувається дуже різка зміна середовища (в нашому випадку, наприклад, електричного кола) і називається **перколяцією** (походить від геологічного терміну – протікання/фільтрування рідини).

Конкретно наша задача з решіткою називається **задача вузлів**, а ланцюжок знизу вверху називають **перколяційним кластером**. Також, хоча ми і розглядали квадратну решітку $n \times n$, на практиці часто використовують і більш-вимірні моделі, наприклад паралелепіпед $a \times b \times c$. Проте, виявляється, що навіть для двовимірної простої моделі задача аналітично нерозв'язана.

Але експериментально досліджувати достатньо легко: зафіксуємо певне $\theta \in [0, 1]$ і проводимо багато експериментів, в кожному з яких генеруємо поле і далі перевіряємо “в лоб”, чи виникла перколяція. Досліджувати можна, наприклад, частку виникнення перколяцій від параметру θ або середня максимальна глибина “занурення”. Цікаво, що при цьому графіки виходять

¹Якщо точніше, то наближено $I = U(R + \tilde{R}(\theta))/R\tilde{R}(\theta)$.

²Оскільки сама I є випадковою величиною, то тут ми скоріше говоримо про математичне сподівання $\mathbb{E}[I]$, але не будемо сильно вдаватись у деталі.

дуже “обривистими” – тобто при якомусь θ частка різко з 1 переходить до 0. Також можна, наприклад, змінювати розмір поля (тобто параметр n), робити поле неквадратним, або навіть об’ємним. Нарешті, ніхто не заважає змінити розподіл клітинок X_{ij} зі стандартного Бернулівського, як ми це описували, на щось більш цікаве :)

Задача 2: Фазові портрети.

Умова. Фазові портрети двовимірних лінійних систем. Поясніть, як у випадку фокусу або центру дізнатися напрям обертання. У випадку сідла: як знайти сепаратиси?

Відповідь. Нехай ми маємо деякий процес. Цей процес описується деяким вектором величин $\mathbf{x} = (x_1, \dots, x_n)$ (наприклад, x_1 – це координата, а x_2 – це швидкість) і ми знаємо закон, котрий описує як динамічно змінюється ця система:

$$\dot{\mathbf{x}} = f(\mathbf{x}, t), \quad (2.1)$$

де $f : \mathbb{R}^n \times \mathbb{R}_{\geq 0} \rightarrow \mathbb{R}^n$ – деяка (нехай неперервна) функція. Далі сконцентруємось на дуже простому випадку функції f . Нехай $f(\mathbf{x}, t) = \mathbf{Ax}$, тобто наше рівняння має вигляд

$$\dot{\mathbf{x}} = \mathbf{Ax} \quad (2.2)$$

Зауваження: було б можливо більш чесно розглядати систему $\dot{\mathbf{x}} = \mathbf{Ax} + \mathbf{b}$, проте її легко можна звести до вигляду 2.2 лінійною заміною змінних.

Таке рівняння називають **лінійною системою**. Дослідження таких систем є дуже корисним як мінімум з двох причин:

- Дуже багато систем в прикладних задачах описується саме лінійним законом (або можуть бути спрощені до таких), котрий дуже зручно і легко досліджувати.
- Навіть у випадку нелінійних функцій f , їх можна лінеаризувати і досліджувати деякі околиці, що нас цікавлять.

Проте, спростимо задачу ще далі і будемо вважати $n = 2$, тобто маємо двовимірний випадок. Ключове питання: як будуть виглядати фазові портрети таких систем?

Почнемо досліджувати. Звичайно, якщо вважати $\mathbf{A} = \begin{bmatrix} a_{1,1} & a_{1,2} \\ a_{2,1} & a_{2,2} \end{bmatrix}$ і аналізувати Рівняння 2.2 в залежності від усіх $a_{i,j}$, то можна злетіти з катушок, бо параметрів ну надто багато. Тому тут нам дещо допоможе курс лінійної алгебри, а саме тема діагоналізації матриць.

Нехай маємо власні числа λ_1, λ_2 матриці \mathbf{A} , причому $\lambda_1 \neq \lambda_2 > 0$. Нехай відповідні власні вектори \mathbf{v}_1 та \mathbf{v}_2 . Введемо допоміжну матрицю, що складена з власних векторів $\mathbf{U} = (\mathbf{v}_1 \parallel \mathbf{v}_2)$ і зробимо ось таку зручну заміну змінних: $\mathbf{z} = \mathbf{U}^{-1}\mathbf{x} \implies \mathbf{x} = \mathbf{U}\mathbf{z}$. Тожі, наша система 2.2 набуде вигляду:

$$\mathbf{U}\dot{\mathbf{z}} = \mathbf{A}\mathbf{U}\mathbf{z} \implies \dot{\mathbf{z}} = (\mathbf{U}^{-1}\mathbf{A}\mathbf{U})\mathbf{z} \quad (2.3)$$

А далі помічаємо дуже зручну для нас річ. Відомо, що при нашому виборі матриці \mathbf{U} вираз $\mathbf{U}^{-1}\mathbf{A}\mathbf{U}$ дорівнює діагональній матриці $\text{diag}\{\lambda_1, \lambda_2\}$. І тому система набула вигляду:

$$\begin{cases} \dot{z}_1 = \lambda_1 z_1 \\ \dot{z}_2 = \lambda_2 z_2 \end{cases} \quad (2.4)$$

Помітимо, що характеристичні властивості, що ми виведемо для Рівняння 2.4 будуть аналогічні для Рівняння 2.2, оскільки ми зробили звичайне лінійне перетворення. Це рівняння дуже легко розв'язати: отримуємо траєкторію:

$$z_1(t) = c_1 e^{\lambda_1 t}, \quad z_2(t) = c_2 e^{\lambda_2 t} \quad (2.5)$$

Власне, ми вже отримали розв'язок для випадку $\lambda_1 \neq \lambda_2 > 0$. Проте, отримана траєкторія може набувати трьох різних “характерних” форм. Щоб це побачити, випишемо рівняння у вигляді $z_2 = g(z_1)$. З першого рівняння $t = \frac{1}{c_1} \log \frac{z_1}{\lambda_1}$, а тому підставляючи у друге отримаємо:

$$z_2 = c_2 \left(\frac{z_1}{c_1} \right)^{\lambda_2/\lambda_1} = r \cdot |z_1|^{\lambda_2/\lambda_1}, \quad (2.6)$$

де r – це якась константа. Бачимо, що взаємозв'язок між z_1 та z_2 степеневий, і тому найбільш цікавий момент – це степінь λ_2/λ_1 . Отже, природньо розглянути наступні випадки:

- Якщо $\lambda_1, \lambda_2 > 0$, тоді показник додатний і фазовий портрет виглядає як “напівпараболи” і напівпрямі, що проходять через $(0, 0)$. Також, з Рівняння 2.5 видно, що $z_1, z_2 \rightarrow \infty$, тому траєкторія буде виходити кудись на нескінченність. Це означає, що точка $(0, 0)$ нестійка і тому такий випадок називають **нестійким вузлом**.
- Якщо $\lambda_1 < 0 < \lambda_2$, то показник від'ємний і це буде відповідати “півгіперболам”. Такий випадок називають **сідлом**. Напівпрямі тут мають доволі важливу роль, тому їх називають **сепаратрисами**. Про них окремо поговоримо.
- Якщо $\lambda_1, \lambda_2 < 0$, то показник знову додатний і ми маємо “напівпараболи”. Це також вузол, але вже стійкий: видно, що $z_1, z_2 \rightarrow 0$ через те, що показники в експоненті від'ємні.

Отже, випадок дійсних λ_1, λ_2 розглянули. Тепер нехай $\lambda_1 = u + iv \in \mathbb{C}$, тоді $\lambda_2 = \bar{\lambda}_1 = u - iv$. Тоді з курсу лінійної алгебри відомо, що $\mathbf{U}^{-1} \mathbf{A} \mathbf{U} = \begin{bmatrix} u & v \\ -v & u \end{bmatrix}$, тому наша система набуде вигляду

$$\begin{cases} \dot{z}_1 = uz_1 + vz_2 \\ \dot{z}_2 = -vz_1 + uz_2 \end{cases} \quad (2.7)$$

Найпростіше розглянути $u = 0$, тобто наші комплексні числа чисто комплексні ($\lambda_1, \lambda_2 \in \mathbb{C} \setminus \mathbb{R}$). Тоді система має вигляд

$$\begin{cases} \dot{z}_1 = vz_2 \\ \dot{z}_2 = -vz_1 \end{cases} \quad (2.8)$$

Це рівняння зводиться до $\ddot{z}_1 + v^2 z_1 = 0$, що відповідає гармонічним коливанням з частотою v . Тому, $z_1 = z_m \cos(vt + \phi)$, де z_m – амплітуда, а ϕ – фазовий зсув. Тоді $z_2(t) = -A \sin(vt + \phi)$. Дуже легко тепер бачити, що $(z_1(t), z_2(t))$ описують кола радіуса R , тобто наші фазові траєкторії – це кола різних радіусів навколо $(0, 0)$. Цей випадок називають **центром**.

При $u \neq 0$ все складно. Тут легше перейти до полярних координат: нехай $z_1 = \rho \cos \theta$, $z_2 = \rho \sin \theta$, тоді наше рівняння зведеться до (викладки пропустимо, оскільки вони доволі громіздкі):

$$\begin{cases} \dot{\rho} = u\rho \\ \dot{\varphi} = -v \end{cases} \quad (2.9)$$

Отже, по суті в нас два незалежних рівняння. Друге описує обертання з постійною кутової швидкістю навколо $(0, 0)$, а знак v показує орієнтацію обертання. Дійсно, якщо $v < 0$, то кутова швидкість $\dot{\varphi}$ постійна і додатна, а отже обертання відбувається проти годинникової стрілки. Відповідно, якщо $v > 0$, то кутова швидкість від’ємна і тому обертання йде за годинниковою стрілкою.

В свою чергу знак u показує, куди саме прямує точка – до $(0, 0)$ чи від $(0, 0)$, оскільки $\rho(t) = \rho_m e^{ut}$. Якщо $u < 0$ (тобто $\text{Re}(\lambda_1) = \text{Re}(\lambda_2) < 0$), то траєкторія стабільна – точка закручується “у центр”, а інакше нестабільна. Такі два випадки називають **стійким фокусом** та **нестійким фокусом**, відповідно.

Код на Python. Даваймо проілюструємо всю класифікацію на мові *Python*. Для цього зробимо ілюстрацію дещо цікавішою: ми звикли, що зазвичай ілюстрації проводять для діагональних матриць, тому сепаратриса та характерні прямі вертикальні/горизонтальні. Тому, зробимо матрицю менш тривіаль-

ною. Зафіксуємо матрицю повороту:

$$\mathbf{R} = \begin{bmatrix} \cos \frac{\pi}{6} & -\sin \frac{\pi}{6} \\ \sin \frac{\pi}{6} & \cos \frac{\pi}{6} \end{bmatrix} \quad (2.10)$$

і в якості матриці для лінійної системи візьмемо $\mathbf{R}^{-1} \cdot \text{diag}(\lambda_1, \lambda_2) \cdot \mathbf{R}$ для обраних λ_1, λ_2 . Ми так можемо робити, бо операція $\mathbf{R}^{-1}(\star)\mathbf{R}$ не змінює спектр матриці, а отже характеристика портрету буде зберігатись.

Отже, програма для цього:

```

1  import numpy as np
2  import matplotlib.pyplot as plt
3
4  from typing import Tuple, List
5
6  def draw_streamplot(ax: plt.axes,
7                      title: str,
8                      f: callable,
9                      stationary_points: List[Tuple[float, float]]
10                     ↪ = []) -> None:
11
12     """
13     Draws a streamplot on the provided axes based on the vector
14     ↪ field provided.
15
16     Args:
17     - 'ax' - the axes object to draw the streamplot on
18     - 'title' - title of the plot
19     - 'f' - the vector field function
20     - 'stationary_points' - a list of stationary points to be
21     ↪ marked on the plot. Empty by default.
22
23     Output:
24     'None', modifies the provided ax
25     """
26
27     # Some fancy customizations
28     ax.set_aspect('equal')
29     ax.grid()
30     ax.set_title(title)
31
32     # Drawing the streamplot
33     x = np.linspace(-3.0, 3.0, 50) # Choosing the range of x
34     y = np.linspace(-3.0, 3.0, 50) # Choosing the range of y
35     xx, yy = np.meshgrid(x,y) # Creating a meshgrid
36     f1, f2 = f(xx,yy) # Calculating the vector field
37     ax.streamplot(xx, yy, f1, f2, density=1.8, color='b') #
38     ↪ Drawing a phase portrait
39
40     # Drawing the stationary points
41     for point in stationary_points:

```

```
37     ax.scatter(point[0], point[1], color='red', marker='x',
38               ↪ alpha=1.0, s=100, linewidths=3.0, zorder=10)
39
40 if __name__ == '__main__':
41     # Define a matrix that will be used to make the matrix of the
42     # linear system less obvious by taking  $A^{-1}$ diag( $\lambda_1$ ,
43     ↪  $\lambda_2$ )A
44     # Here, this is just a rotational matrix by  $\pi/6$ 
45     A = np.matrix([[np.cos(np.pi/6), -np.sin(np.pi/6)],
46     ↪ [np.sin(np.pi/6), np.cos(np.pi/6)]])
47     A_inv = np.linalg.inv(A)
48
49     # Defining the vector field functions for each of the cases
50     def stable_node(x: np.ndarray, y: np.ndarray) -> callable:
51         # Here, both eigenvalues are negative
52         lambda_1 = -1
53         lambda_2 = -1.5
54         matrix = A_inv @ np.matrix([[lambda_1, 0], [0,
55         ↪ lambda_2]]) @ A
56         return matrix[0, 0] * x + matrix[0, 1] * y, matrix[1, 0]
57         ↪ * x + matrix[1, 1] * y
58
59     def saddle(x: np.ndarray, y: np.ndarray) -> callable:
60         # Here, one eigenvalue is negative and one is positive
61         lambda_1 = -1.0
62         lambda_2 = 4.0
63         matrix = A_inv @ np.matrix([[lambda_1, 0], [0,
64         ↪ lambda_2]]) @ A
65         return matrix[0, 0] * x + matrix[0, 1] * y, matrix[1, 0]
66         ↪ * x + matrix[1, 1] * y
67
68     def center(x: np.ndarray, y: np.ndarray) -> callable:
69         # Here, both eigenvalues are pure complex
70         v = 4.0
71         matrix = A_inv @ np.matrix([[0, v], [-v, 0]]) @ A
72         return matrix[0, 0] * x + matrix[0, 1] * y, matrix[1, 0]
73         ↪ * x + matrix[1, 1] * y
74
75     def unstable_focus(x: np.ndarray, y: np.ndarray) -> callable:
76         # Here, both eigenvalues are complex with positive real
77         ↪ part
78         u = 3.0
79         v = 6.0
80         matrix = A_inv @ np.matrix([[u, v], [-v, u]]) @ A
81         return matrix[0, 0] * x + matrix[0, 1] * y, matrix[1, 0]
82         ↪ * x + matrix[1, 1] * y
83
84     # Plotting all phase portraits
85     fig, axs = plt.subplots(2, 2)
```



```

77 fig.set_figheight(10)
78 fig.set_figwidth(10)
79
80 # Modifying subplots
81 draw_streamplot(axes[0, 0], 'Stable node\n(1=-1.0, 2=-1.5)',
82   ↪ stable_node, stationary_points=[(0.0, 0.0)])
83 draw_streamplot(axes[0, 1], 'Saddle point\n(1=-1.0, 2=4.0)',
84   ↪ saddle, stationary_points=[(0.0, 0.0)])
85 draw_streamplot(axes[1, 0], 'Center\n(1=4.0i, 2=-4.0i)',
86   ↪ center, stationary_points=[(0.0, 0.0)])
87 draw_streamplot(axes[1, 1], 'Focus\n(1=3.0+6.0i,
88   ↪ 2=3.0-6.0i)', unstable_focus, stationary_points=[(0.0,
89   ↪ 0.0)])
90
91 # Saving the figure
92 fig.savefig(f'exam_problem_2.pdf')

```

А тепер розглянемо отриману ілюстрацію – дивись Рисунок 2.

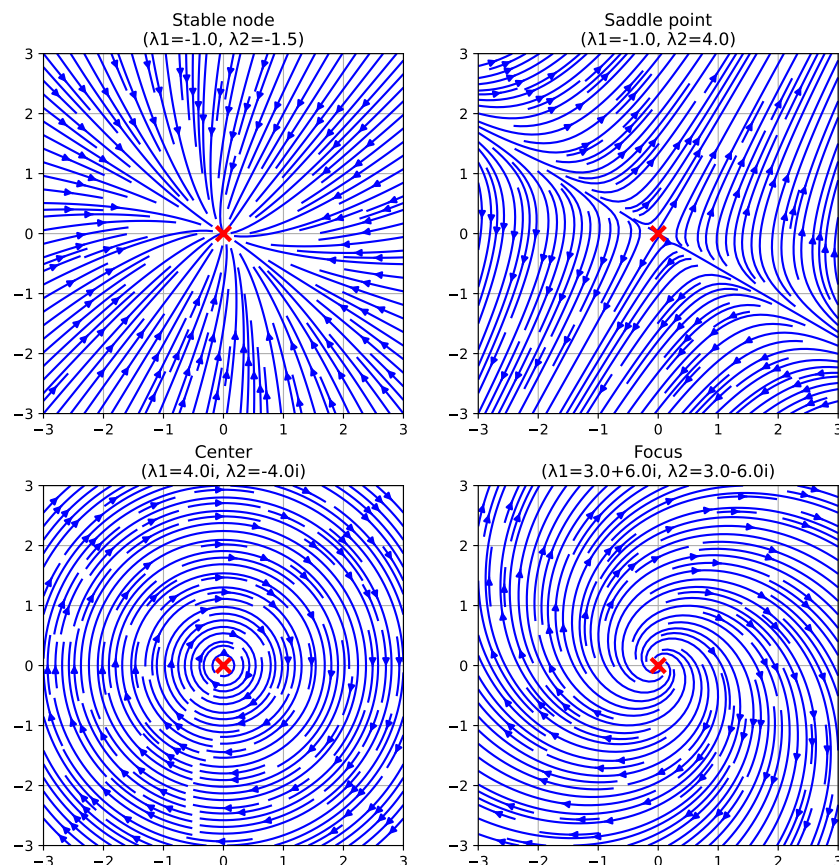


Рис. 2: Ілюстрація чотирьох основних фазових портретів (без врахування стабільності/нестабільності)

Зауважимо, що тут можна ще додати нестійкий вузол та стійкий фокус,

але вони, окрім напрямку стрілок, нічим не відрізняються від наведених.

Визначення напрямку сепаратрис. Нагадаємо, що для $\lambda_1 < 0 < \lambda_2$ після заміни $\mathbf{z} = \mathbf{U}^{-1}\mathbf{x}$ ми отримали рівняння

$$\begin{cases} \dot{z}_1 = \lambda_1 z_1 \\ \dot{z}_2 = \lambda_2 z_2 \end{cases} \quad (2.11)$$

Для нього маємо дві сепаратрис: $z_1 = 0$ та $z_2 = 0$. Дійсно, якщо наприклад $z_1(0) = 0$, то $z_2 = c_2 e^{\lambda_2 t}$ – маємо рух вздовж $z_1 = 0$ від $(0, 0)$. Аналогічно для $z_2(0) = 0$ будемо мати рух вздовж $z_2 = 0$ до $(0, 0)$, оскільки $\lambda_1 < 0$.

Як отримати рівняння сепаратрис для системи координат \mathbf{x} ? Дуже просто: нехай маємо сепаратрису $z_1 = 0$. Тоді вектор нормалі цієї сепаратрис $\boldsymbol{\nu}_z = (0, 1)$. У системі \mathbf{x} цей вектор набуде вигляду $\boldsymbol{\nu}_x = \mathbf{U}\boldsymbol{\nu}_z$. Отже тепер сепаратриса це просто пряма $\langle \boldsymbol{\nu}_x, \mathbf{x} \rangle = 0$. Аналогічно для $z_2 = 0$, але тут нормаль $\boldsymbol{\nu}_z = (1, 0)$. Якщо побудувати відповідні прямі для нашої обраної матриці повороту, то отримаємо Рисунок 3.

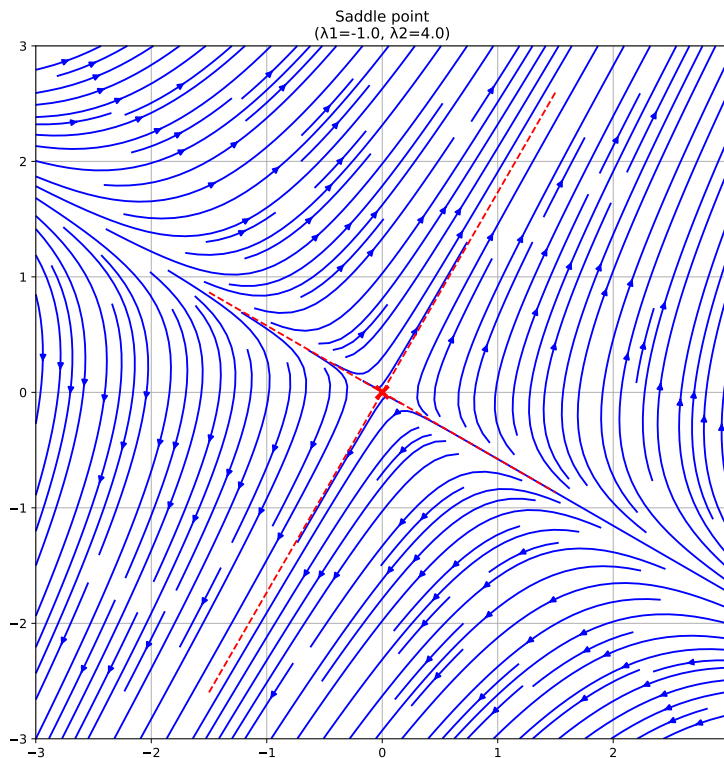


Рис. 3: Сепаратрис для матриці повороту на кут $\pi/6$.